

Abbildung 1

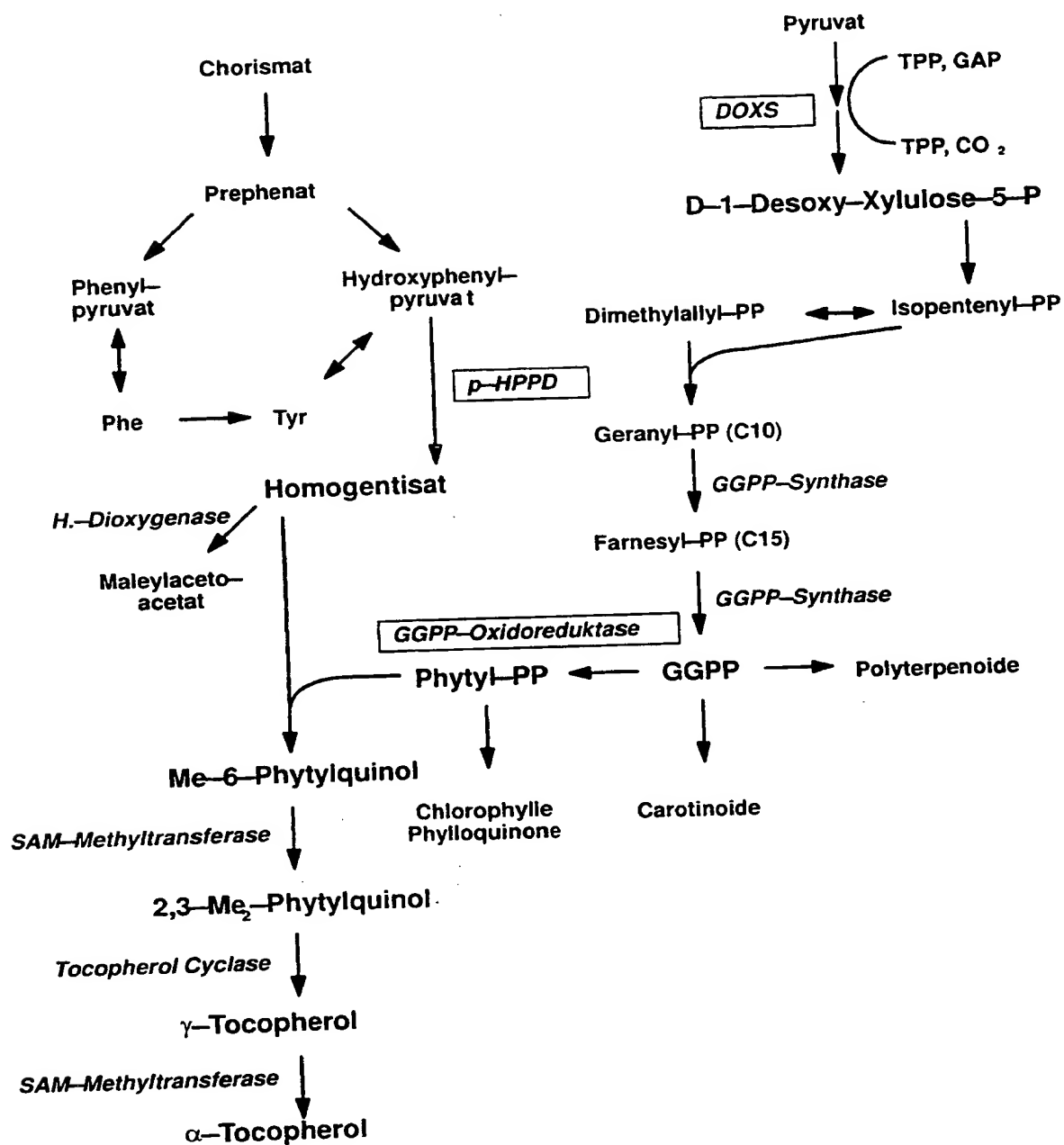


Abbildung 2

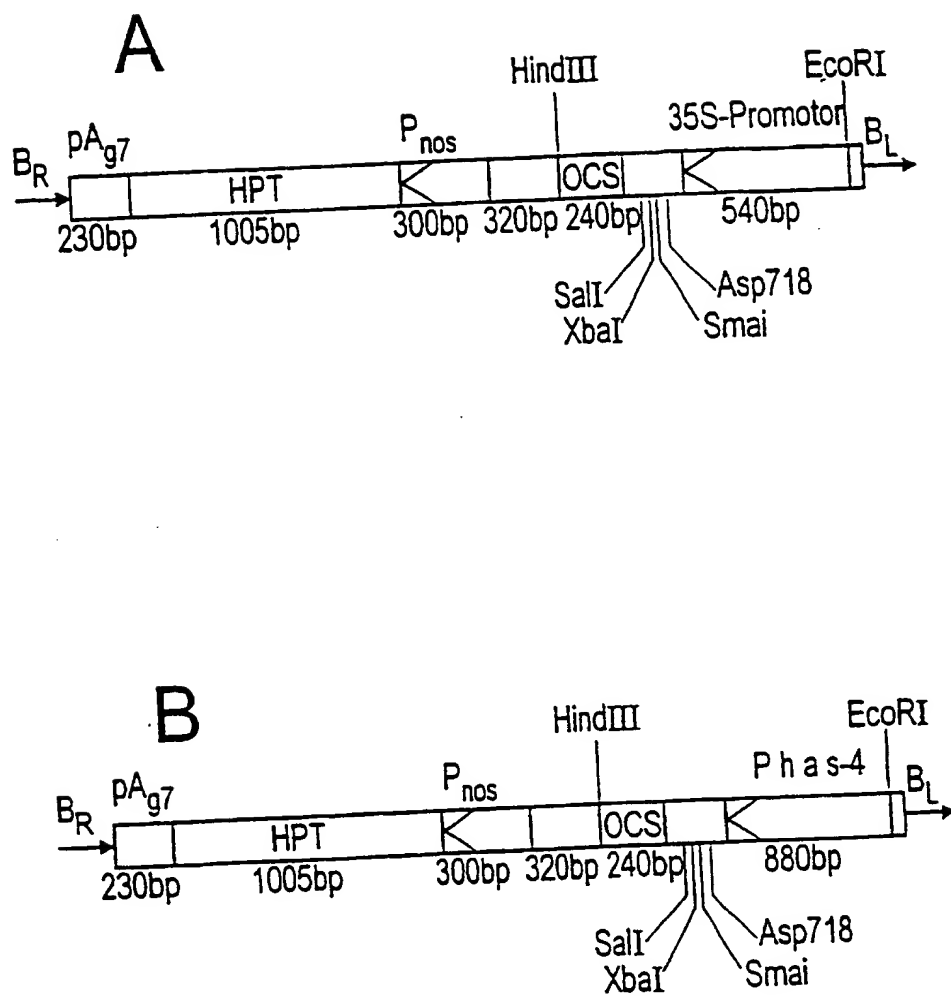


Abbildung 3

pBin19-3X 35S-F-23-C (Sense)

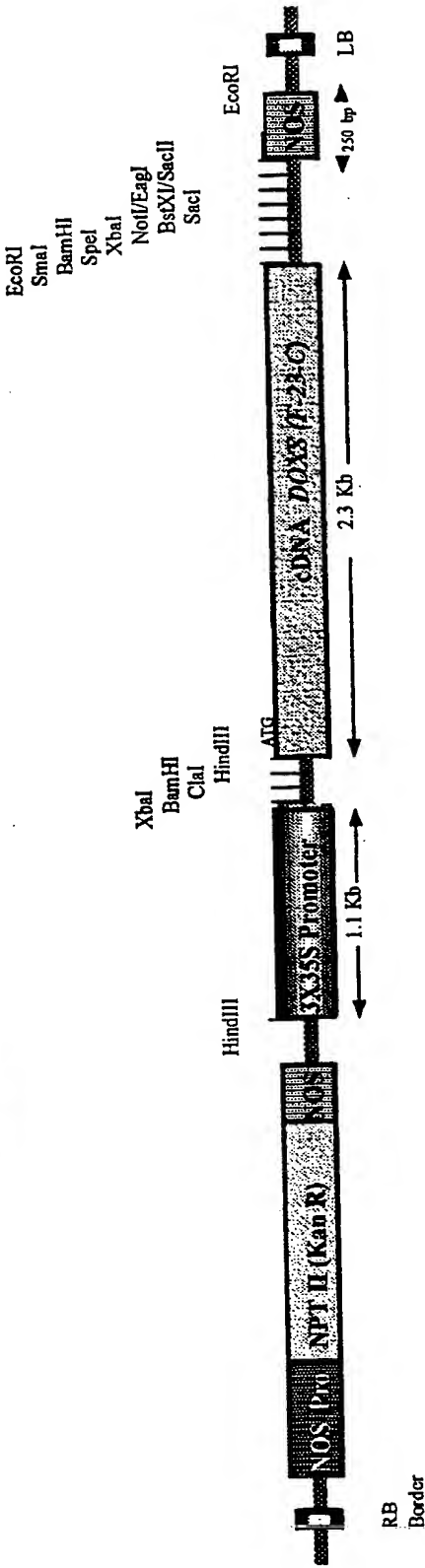


Abbildung 4

pBin19-3X 35S-DOXS (Antisense)

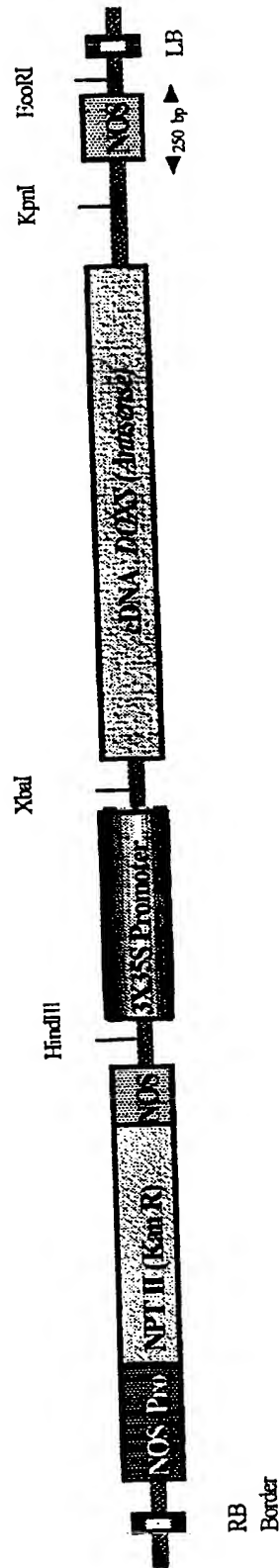
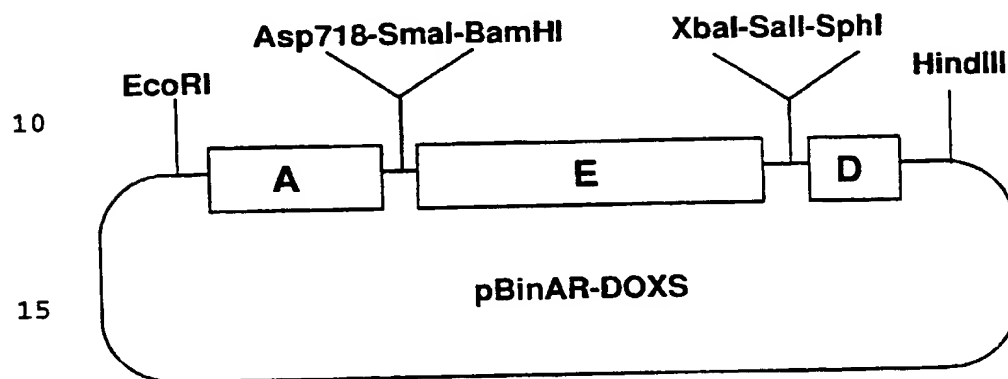


Abbildung 5

Binärer Vektor zur Überexpression des DOXS-Gens aus E.coli im
5 Zytosol transgener Pflanzen



20 Abbildung 6

Binärer Vektor zur Überexpression des DOXS-Gens aus E. coli in
Plastiden transgener Pflanzen.

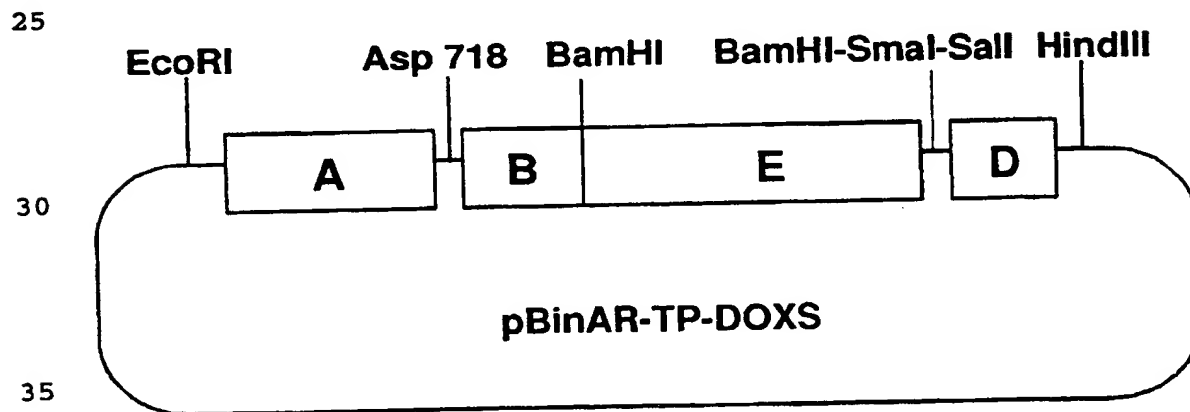


Abbildung 7: RNA Expressionslevel des DOXS-Gens

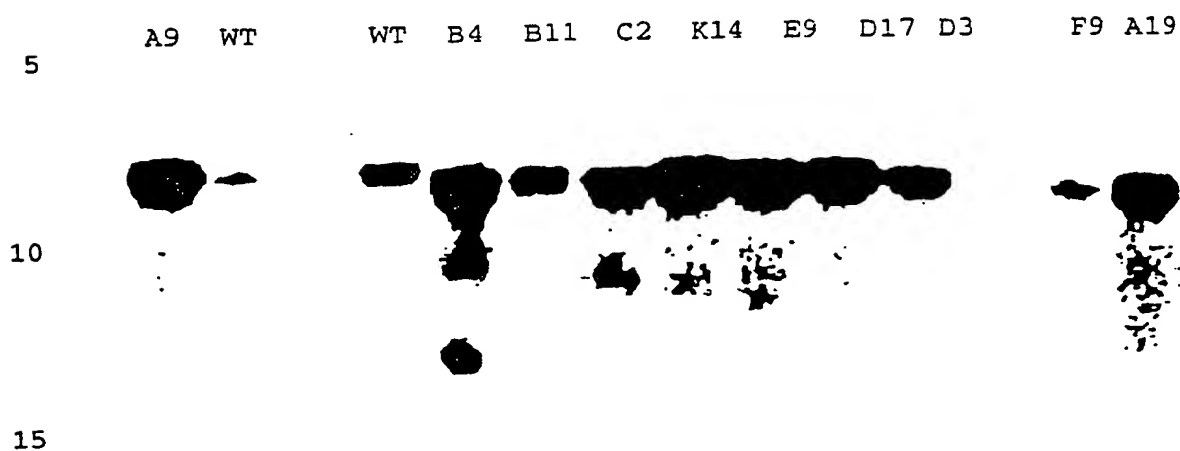


Abbildung 8: Protein-Mengen in transgenen Pflanzen

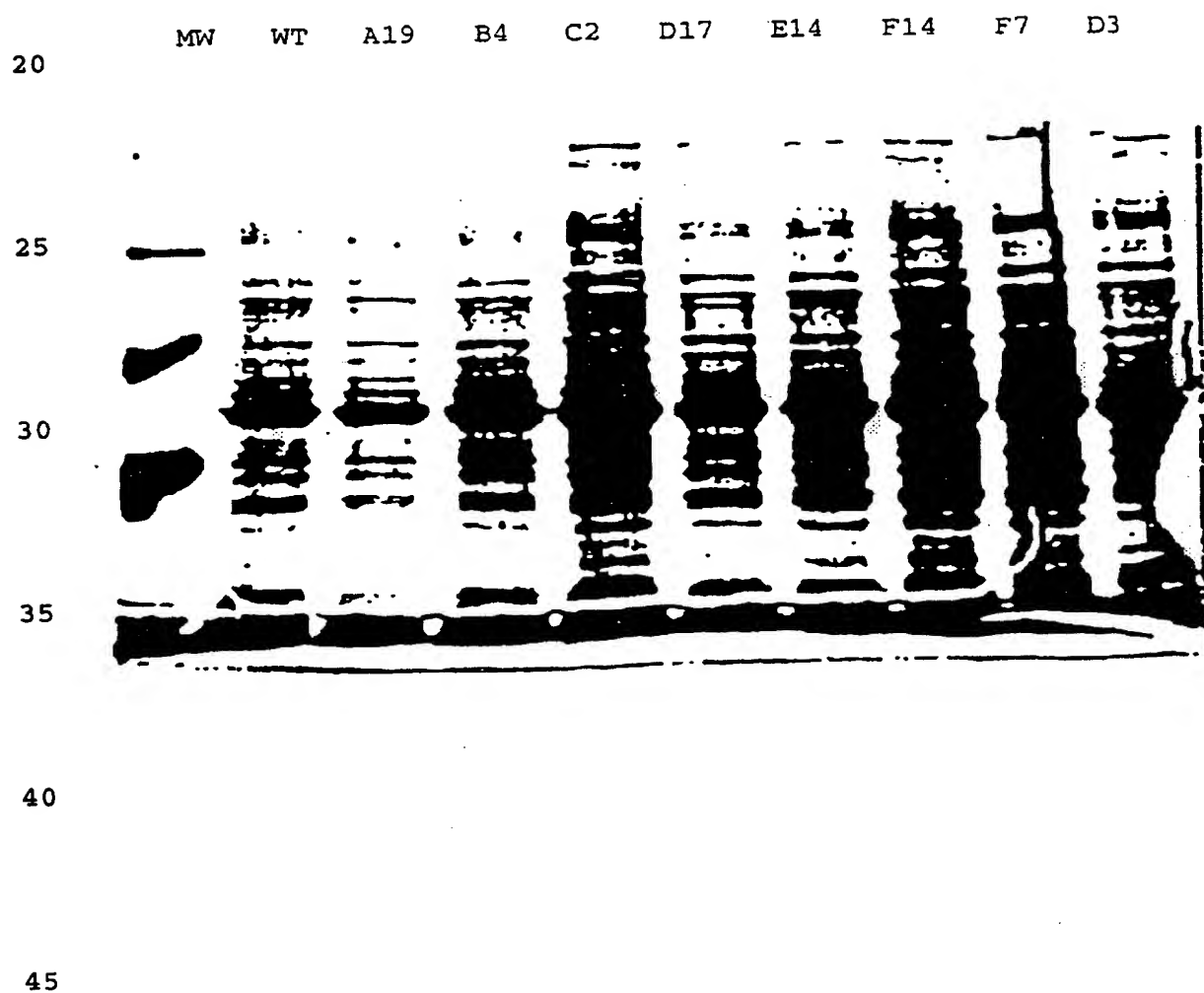


Abbildung 9: Westernanalyse

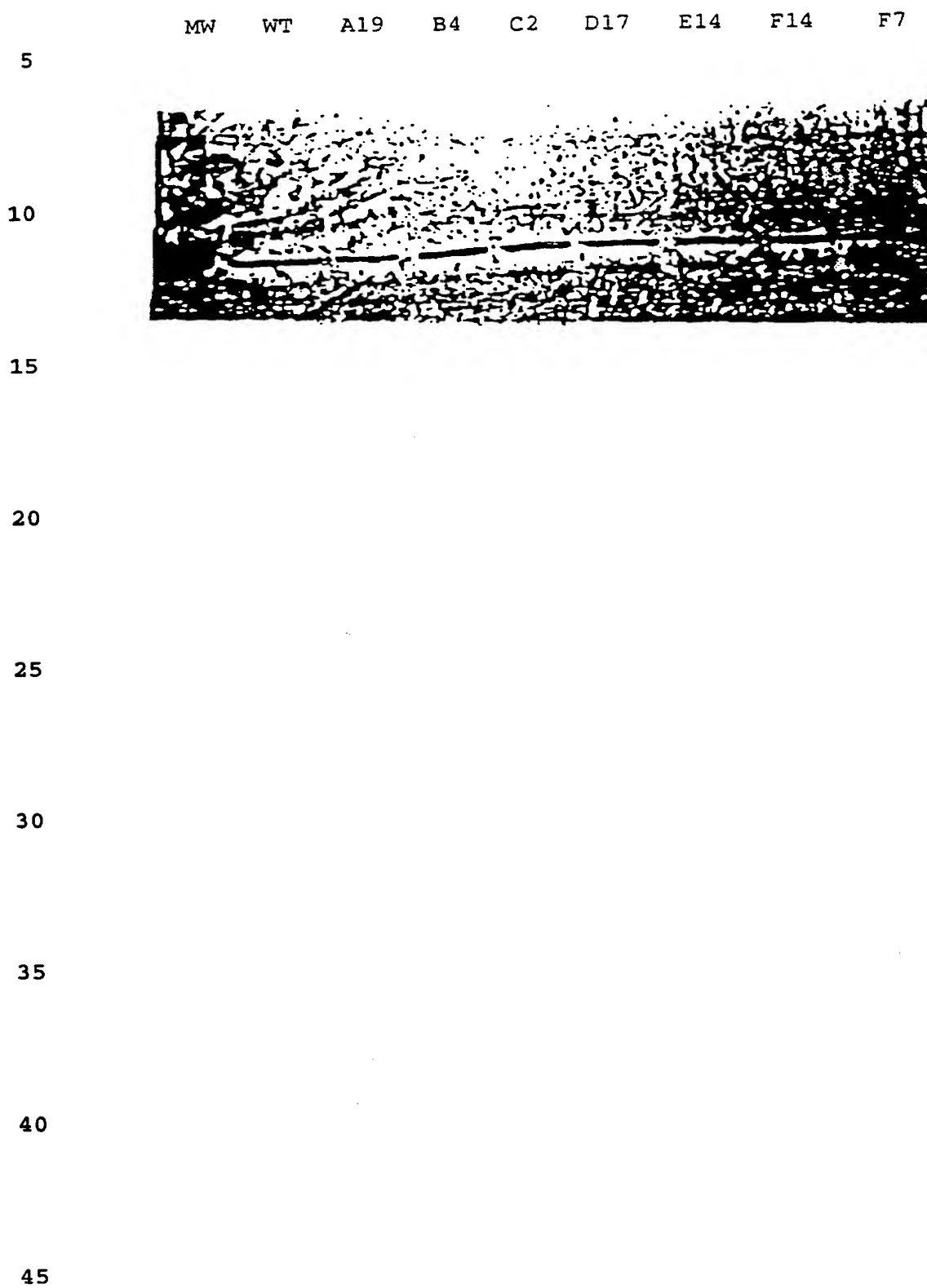


Abbildung 10

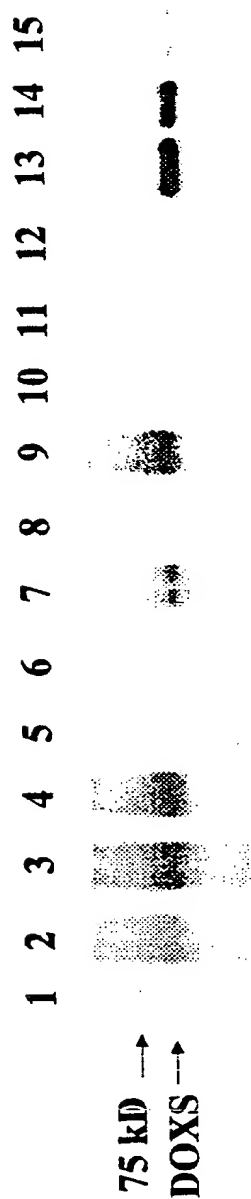
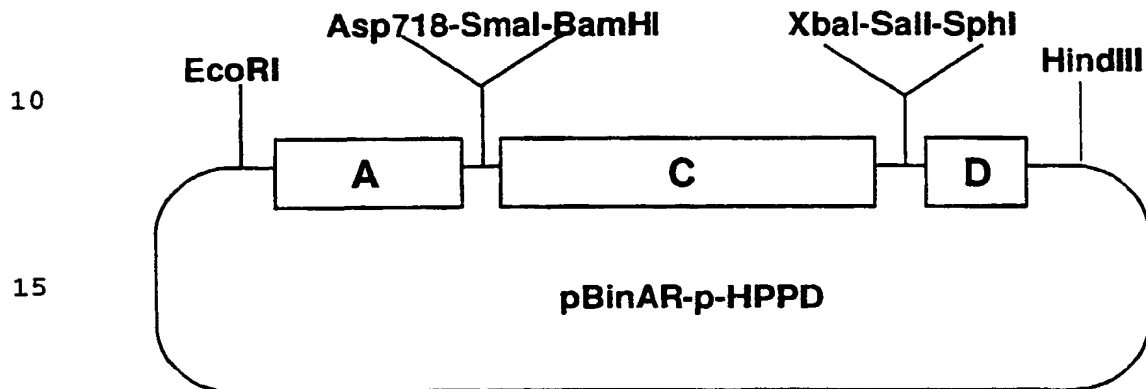


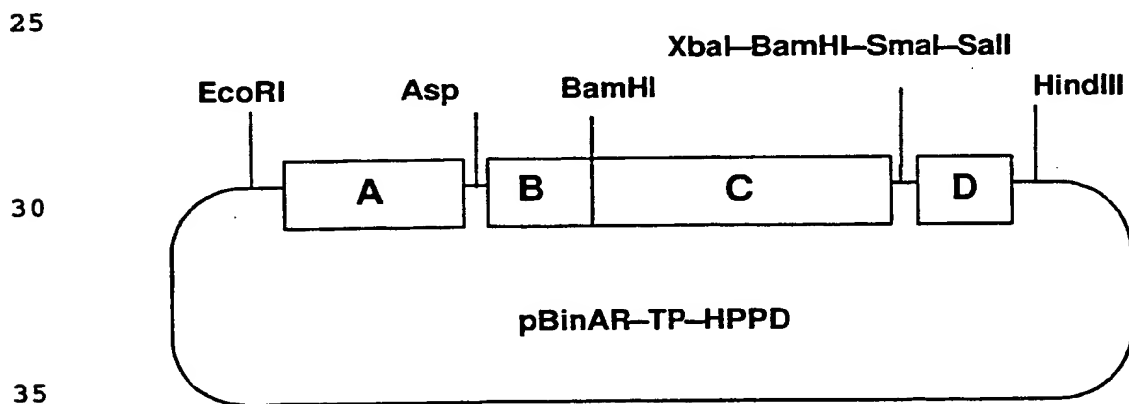
Abbildung 11

Binärer Vektor zur Überexpression des HPPD-Gens aus *Streptomyces*
5 *avermitilis* im Zytosol transgener Pflazen



20 Abbildung 12

Binärer Vektor zur Überexpression des HPPD-Gens aus *Streptomyces*
25 *avermitilis* im Plastiden transgener Pflanzen

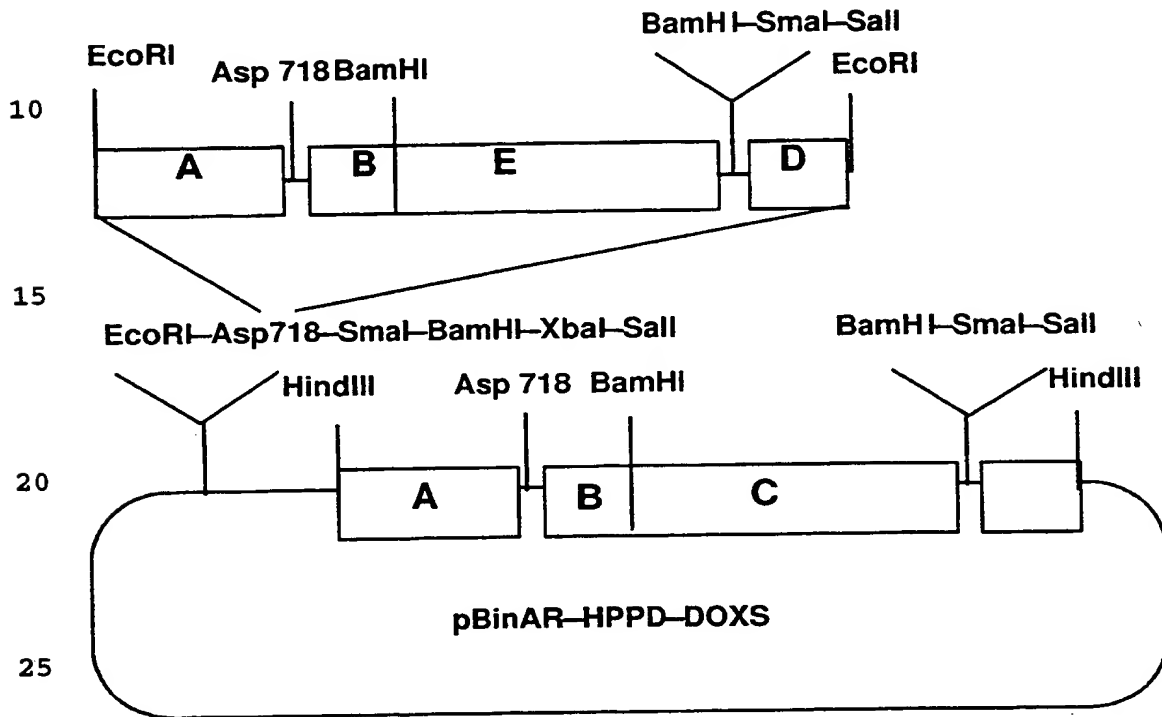


40

45

Abbildung 13

Binärer Vektor zur Überexpression des HPPD-gens aus *Streptomyces avermitilis* und des DOXS-Gens aus *E.coli* in Plastiden transgener 5 Pflanzen.



30 Abbildung 14

Binärer Vektor zur Überexpression des GGPPOR-Gens aus *Arabidopsis thaliana* in Plastiden transgener Pflanzen.

35

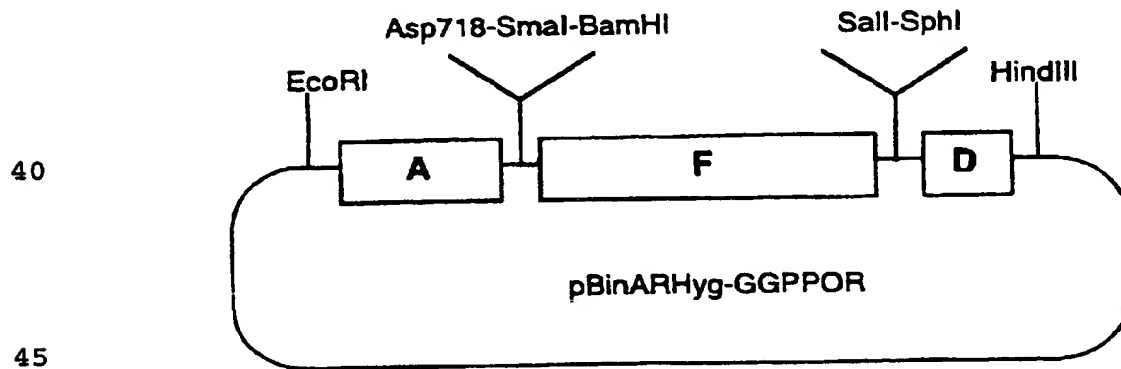


Abbildung 15

Binärer Vektor zur Überexpression des GGPPOR-Gens aus *Arabidopsis thaliana* und des DOXS-Gens aus *E. coli* in Plastiden transgener Pflanzen.

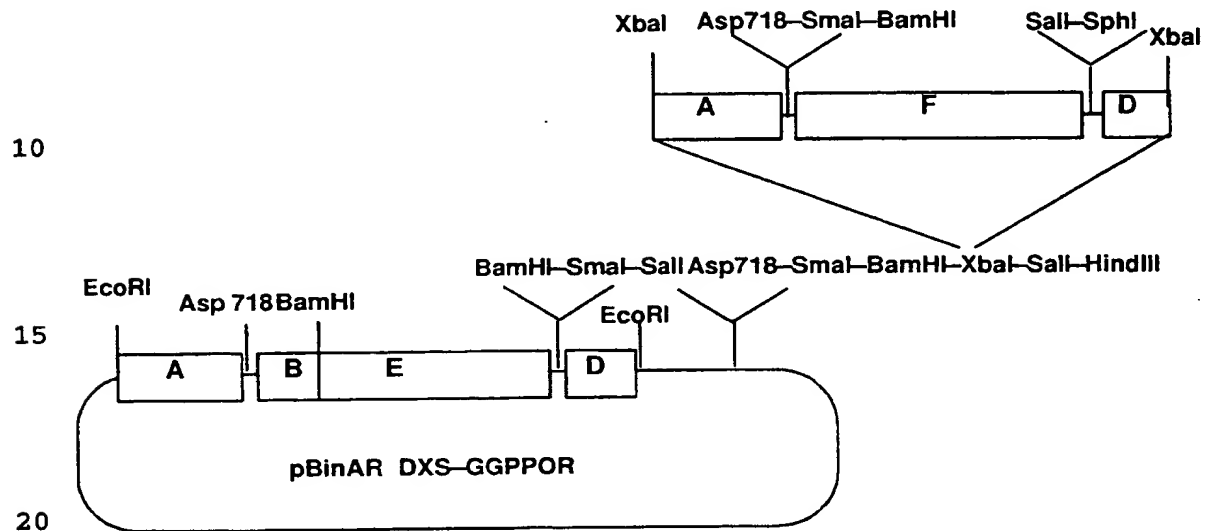


Abbildung 16

Binärer Vektor zur Überexpression des DOXS-Gens aus *E. coli*, des GGPPOR-Gens aus *Arabidopsis thaliana* und des HPPD-Gens aus *Streptomyces avermitilis* in den Plastiden transgener Pflanzen.

